

Design and Development of a Pseudotyped-lentivirus for Severe Acute Respiratory Syndrome Coronavirus 2 (SARS-CoV-2)

Hadi Hassannia^{1,2},
Seyed Ehsan Enderami³,
Reyhaneh Nassiri Mansour⁴,
Mohamad Eftekhary⁵,
Mohamadfoad Abazari⁶,
Reza salarinia⁷

¹ Assistant Professor, Immunogenetics Research Center, Mazandaran University of Medical Sciences, Sari, Iran

² Department of Paramedicine, Amol Faculty of Paramedical Sciences, Mazandaran University of Medical Sciences, Sari, Iran

³ Assistant Professor, Department of Medical Biotechnology, Faculty of Advanced Technologies in Medical Sciences, Mazandaran University of Medical Sciences, Sari, Iran

⁴ Ph.D. Student in Tissue Engineering, Department of Tissue Engineering, Student Research Committee, School of Advanced Technologies in Medical Sciences, Sari, Iran

⁵ Assistant Professor, Department of Medical Biotechnology, Faculty of Paramedicine, Guilan University of Medical Sciences, Rasht, Iran

⁶ Ph.D. Candidate of Neurosciences, Division of Medical Sciences, Island Medical Program, University of British Columbia, Victoria, BC, Canada

⁷ Assistant Professor, Department of Molecular Medicine, School of Medicine, North Khorasan University of Medical Sciences, Bojnurd, Iran

(Received October 15, 2023; Accepted November 4, 2023)

Abstract

Background and purpose: Pseudoviruses, due to their immunity and adaptability, are valuable tools for developing vaccines and therapeutic drugs, particularly for emerging viruses. SARS-CoV-2, due to its high mortality rate and ease of transmission, should be handled under Biosafety Level 3 conditions, making the development of vaccines and therapeutic drugs challenging in many research centers. The present study aimed to produce a lentivirus pseudotype that can be used in neutralization assays based on pseudovirus under Biosafety Level 2 conditions.

Materials and methods: The SARS-CoV-2 Spike protein gene was inserted into the HIV-1 genome. Confirmation of entry was obtained through flow cytometry, electron microscopy, and immunofluorescence. Finally, the neutralization capacity of convalescent COVID-19 patients' sera was measured using the pseudovirus-based neutralization assay.

Results: The results of flow cytometry, electron microscopy, and immunofluorescence confirmed the entry of the Spike gene. Furthermore, the sera of convalescent patients showed significantly higher neutralizing capacity compared to the control group that had not been exposed to SARS-CoV-2.

Conclusion: The results of this study demonstrated that the use of the produced lentivirus pseudotype can measure the neutralizing capacity of patients' sera, and the pseudovirus-based neutralization assay serves as a suitable alternative for assessing the neutralization of live SARS-CoV-2. Moreover, this test can effectively evaluate vaccines or therapeutic drugs for combating this deadly virus.

Keywords: COVID-19, Lenti-SARS-CoV-2, Pseudovirus, SARS-CoV-2

J Mazandaran Univ Med Sci 2023; 33 (Supple 1):77-85 (Persian).

Corresponding Author: Seyed Ehsan Enderami- Faculty of Advanced Technologies in Medical Sciences, Mazandaran University of Medical Sciences, Sari, Iran. (E-mail: ehsan.enderami@gmail.com)

طراحی و توسعه‌ی سودوتایپ لنتی ویروس برای کروناویروس سندرم حاد تنفسی ۲ [SARS-CoV-2]

هادی حسن نیا^{۱،۲}سید احسان اندرامی^۳ریحانه نصیری منصور^۴محمد افتخاری^۵محمدفواد ابادری^۶رضا سالاری نیا^۷

چکیده

سابقه و هدف: شبه‌ویروس‌ها به دلیل ایمنی و تطبیق‌پذیری، ابزار مفیدی برای ساخت واکسن‌ها و داروهای درمانی، به‌ویژه برای ویروس‌های نوظهور هستند. SARS-CoV-2 به دلیل مرگ‌ومیر بالا و انتقال راحت، باید تحت شرایط ایمنی‌زیستی سطح سه قرار گیرد که همین موضوع روند ساخت واکسن‌ها و داروهای درمانی را در بسیاری از مراکز تحقیقاتی، دشوار کرده است. هدف از این مطالعه تولید سودوتایپ لنتی ویروس است که در تست خنثی‌سازی ویروس بر مبنای شبه‌ویروس در شرایط سطح ایمنی‌زیستی دو، بتوان از آن استفاده کرد.

مواد و روش‌ها: روی ژنوم HIV-1، ژن پروتئین اسپایک SARS-CoV-2 قرار داده شد. برای تأیید ورود از تست‌های فلوسایتومتري، میکروسکوپ الکترونی و ایمونوفلورسانس استفاده شد. در نهایت، قدرت خنثی‌سازی سرم بیماران بهبودیافته از کووید ۱۹ با استفاده از تست خنثی‌سازی ویروس بر مبنای شبه‌ویروس اندازه‌گیری شد.

یافته‌ها: نتایج تست‌های فلوسایتومتري، میکروسکوپ الکترونی و ایمونوفلورسانس ورود ژن اسپایک را تأیید کرد. همچنین، سرم بیماران بهبودیافته قدرت خنثی‌کنندگی بسیار بالاتری را نسبت به سرم گروه کنترل مواجه‌نشده با SARS-CoV-2 نشان داد.

استنتاج: نتایج این مطالعه نشان داد که با استفاده از سودوتایپ لنتی ویروس تولید شده می‌توان قدرت خنثی‌کنندگی سرم بیماران را اندازه‌گیری کرد و تست خنثی‌سازی ویروس بر مبنای شبه‌ویروس، جایگزین مناسبی برای تست خنثی‌سازی ویروس بر مبنای ویروس زنده SARS-CoV-2 است. همچنین، این تست می‌تواند در مطالعات ارزیابی واکسن‌ها یا داروهای درمانی برای مبارزه با این ویروس کشنده کارآمد باشد.

واژه‌های کلیدی: SARS-CoV-2، Lenti-SARS-Cov2، کووید ۱۹، سودوویروس

مقدمه

کروناویروس عضوی از زیرخانواده‌ی کروناویروس است که میزبان آن گسترده و متنوع است. ویروس کرونا علاوه بر انسان، می‌تواند بسیاری از پستان‌داران و پرندگان را مبتلا کند (۱).

E-mail: ehsan.enderami@gmail.com

مؤلف مسئول: سید احسان اندرامی - ساری: دانشگاه علوم پزشکی مازندران، دانشکده‌ی فناوری‌های نوین

۱. استادیار، مرکز تحقیقات ایمنوژنتیک، دانشگاه علوم پزشکی مازندران، ساری، ایران

۲. گروه پیراپزشکی، دانشکده‌ی پیراپزشکی آمل، دانشگاه علوم پزشکی مازندران، ساری، ایران

۳. استادیار، گروه زیست‌فناوری پزشکی، دانشکده‌ی فناوری‌های نوین، دانشگاه علوم پزشکی مازندران، ساری، ایران

۴. دانشجوی دکتری تخصصی مهندسی بافت، کمیته تحقیقات دانشجویی، دانشکده‌ی فناوری‌های نوین، دانشگاه علوم پزشکی مازندران، ساری، ایران

۵. استادیار، گروه زیست‌فناوری پزشکی، دانشکده‌ی پیراپزشکی، دانشگاه علوم پزشکی گیلان، رشت، ایران

۶. دانشجوی دکتری تخصصی علوم اعصاب، شاخه علوم پزشکی، برنامه پزشکی جزیره ونکور، دانشگاه بریتیش کلمبیا، ویکتوریا، کانادا

۷. استادیار، گروه فناوری‌های نوین، دانشکده‌ی پزشکی، دانشگاه علوم پزشکی خراسان شمالی، بجنورد، ایران

✉ تاریخ دریافت: ۱۴۰۲/۷/۲۳ تاریخ ارجاع جهت اصلاحات: ۱۴۰۲/۸/۶ تاریخ تصویب: ۱۴۰۲/۸/۱۳

مبتنی بر RNA، واکسن‌های ناقل ویروسی، پلاسماتراپی، آنتی‌بادی‌های خنثی‌کننده مونوکلونال و مهارکننده‌های اختصاصی که بیش‌تر آن‌ها برای هدف قرار دادن پروتئین S طراحی شده است (۴). SARS-CoV-2 به دلیل مرگ‌ومیر بالا و انتقال راحت، باید تحت شرایط ایمنی‌زیستی سطح سه قرار گیرد و همین موضوع روند ساخت واکسن‌ها و داروهای درمانی را در بسیاری از مراکز تحقیقاتی، دشوار کرده است (۵). برای جلوگیری از مواجهه با ویروس عفونی زنده، تست خنثی‌سازی ویروس بر مبنای شبه‌ویروس برای ویروس‌های متعددی از جمله MERS-CoV (۶)، ویروس هاری (۷)، ویروس ابولا (۸)، ویروس ماربورگ (۹)، ویروس لاسا (۱۰)، چیکونگونیا ویروس (۱۱)، ویروس نیپا (۱۲)، ویروس دره‌ریفت (۱۳) و ویروس تب خون‌ریزی‌دهنده‌ی کریمه‌کنگو (۱۴) توسعه یافته است. بر همین اساس، در این مطالعه، تست خنثی‌سازی ویروس بر مبنای سودوتایپ لنتی ویروس SARS-CoV-2 طراحی شد و به‌منظور تأیید کارایی آن، قدرت خنثی‌سازی سرم بیماران بهبودیافته از کووید ۱۹ با استفاده از این تست اندازه‌گیری شد.

مواد و روش‌ها

کشت سلول و تهیه‌ی نمونه‌های سرم بهبودیافته از کووید ۱۹ از رده‌ی سلولی Lenti-X 293T (کلیمه‌ی جنینی انسان) در این مطالعه استفاده شد و تمام رده‌های سلولی از مرکز منابع زیستی ایران (IBRC، ایران) یا انستیتو پاستور ایران خریداری شد. تمام سلول‌ها در محیط DMEM با ۱۰ درصد سرم جنین گاوی (Gibco؛ FBS)، ایالات متحده، ۱ درصد آل‌گلوتامین (Gibco، ایالات متحده)، ۱۰۰ واحد پنی‌سیلین در میلی‌لیتر و ۱۰۰ میکروگرم استرپتومایسین در هر میلی‌لیتر در دمای ۳۷ درجه‌ی سانتیگراد و CO₂ با غلظت ۵ درصد کشت داده شدند. نمونه‌های سرم بیماران بهبودیافته از SARS-CoV-2 از بیمارستان پیامبران تهران تهیه شد و از همه‌ی داوطلبان رضایت‌نامه‌ی کتبی آگاهانه اخذ شد.

قبل از سال ۲۰۱۹، دو ویروس کرونای انسانی شناخته‌شده متعلق به جنس بتاکرونا ویروس (کروناویروس سندرم تنفسی حاد شدید (SARS-CoV) و کروناویروس سندرم تنفسی خاورمیانه (MERS-CoV) باعث بیماری‌های تنفسی بسیار شدند (۲).

در دسامبر ۲۰۱۹، بیماری COVID-19 در ووهان واقع در چین، شیوع یافت. بیمار اولیه مربوط به بازار عمده‌فروشی غذاهای دریایی در ووهان بود. نوع جدیدی از ویروس کرونا از سلول‌های اپیتلیال تنفسی انسان جدا شد که متعلق به جنس بتاکروناویروس بود. این ویروس با SARS-CoV و MERS-CoV که قبلاً شناسایی شده بودند، متفاوت بود و SARS-CoV-2 نامیده شد (۲). SARS-CoV-2 ویروسی پوشش‌دار با RNA تک‌رشته‌ای مثبت و متعلق به خانواده‌ی کروناویروس است. ژنوم ویروس SARS-CoV-2 به طول ۲۹/۸ کیلوباز دارای ۱۴ قالب خواندن باز (ORF) است که ۲۷ پروتئین را کد می‌کند. در انتهای ژنوم، چهار پروتئین ساختمانی، شامل پروتئین سطحی (Spike (S)، Envelope (E)، Membrane (M) و Nucleocapsid (N) کد می‌شود. پروتئین S در اتصال ویروس و ورود ویروس به سلول میزبان نقش دارد، پروتئین N ژنوم ویروس را در ریونوکلئو کپسید مارپیچی بسته‌بند می‌کند، پروتئین M نقش اساسی در شکل‌دهی و مونتاژ ویروس دارد و پروتئین E نیز با ایجاد منفذ، در انتقال یون‌ها و ایجاد ویرون نقش دارد (۳).

پروتئین S مسئول اتصال ویروس و وارد شدن آن به سلول‌های هدف است. هم‌چنین، این پروتئین نقش کلیدی در القای ایمنی هم‌مورال و سلولی محافظ در طول عفونت SARS-CoV-2 ایفا می‌کند؛ در نتیجه، پروتئین S جذاب‌ترین هدف برای واکسن SARS-CoV-2 و توسعه‌ی درمانی در نظر گرفته شد (۳). در مواجهه با پاندمی COVID-19، رویکردهای مختلفی برای توسعه‌ی اقدامات پیشگیرانه و درمانی به کار گرفته شده است؛ از جمله واکسن غیرفعال کامل، واکسن زیرواحد، واکسن

پلاسمیدها

برای ساخت شبه‌ویروس، ژن پروتئین S از سویه‌ی SARS-CoV2 (GenBank:MN908947) Wuhan-Hu-1 توسط EcoRI و XbaI آنزیم‌های محدودکننده (Bimatico sites) در پلاسمید یوکاریوتی بیانی pcDNA3.1 کلون شدند تا پلاسمیدهای نو ترکیب پوششی pcDNA3.1.S تولید شود. مطابق با مطالعات قبلی (۱۵)، برای افزایش کارایی بیان، یک توالی GCCGCCATGG قبل از کدون شروع درج شد. علاوه بر این، pLOX-CWgfp (پلاسمید 12241 Addgene، UK)، پلاسمید پوششی بیان‌کننده‌ی VSV-G pMD2.G (پلاسمید 12259 Addgene، کمبریج، MA، ایالات متحده‌ی امریکا)، ناقل بسته‌بندی لنتی ویروس psPAX2 و کدکننده‌ی HIV-Pol-1 (Addgene 12260 plasmid, Cambridge, MA, USA) خریداری شد. همه‌ی پلاسمیدها با هضم آنزیمی و تعیین توالی تأیید شدند (داده‌ها نشان داده نشده است). پلاسمیدها به سویه‌ی اشرشیاکلی DH5 α وارد شدند. پلاسمیدهای استفاده‌شده برای ترانسفکشن با استفاده از کیت (NucleoBond® Xtra Maxi MN، آلمان) مطابق دستورالعمل سازنده، استخراج شدند.

تولید و تیتراسیون سودولنتی ویروس SARS-CoV-2

برای تولید سودولنتی ویروس Lenti SARS-CoV2-S سلول‌های Lenti-X 293T رشد یافته در صفحات کشت ۱۰ سانتی متری با ۱۲ میکروگرم pLOX-CW، ۶ میکروگرم psPAX2 و ۶ میکروگرم pcDNA3.1.S با استفاده از لیپوفکتامین LTX (اینویترورژن، ایالات متحده‌ی امریکا) ترانسفکت شدند. وکتور pMD2.G هم‌چنین، با سودولنتی ویروس و psPAX2، برای تولید شبه VSV-G به‌عنوان یک کنترل، ترانسفکت شد. پس از چهار ساعت، محیط کشت با محیط کشت تازه جایگزین شد. سوپرناتانت‌ها در ۴۸ و ۷۲ ساعت پس از ترانسفکشن، برداشت شدند و با فیلتر ۰/۴۵ میکرومتری، فیلتر شدند. برای تیتراسیون ذرات Lenti SARS-CoV2-S، ۱۰۰ میکرولیتر از یک رقت سریال ده‌برابری از مایع رویی

کشت برای انتقال رده‌های سلولی Lenti-X 293T، از سلول‌های HeLa استفاده شد. سلول‌ها به مدت ۴۸ ساعت انکوبه شدند، تریپسینه شدند، در ۱ درصد پارافورمالدئید (PFA) معلق شدند و با استفاده از فلوسیتومتری، تیتراژ شدند. برای محاسبه‌ی تیتراژ عفونی از فرمول زیر استفاده شد:

$$\text{Transducing units (TU)/mL} = \left[\frac{\text{percentage of GFP-positive cells}}{100} \times \text{number of cells infected} \times \text{vector dilution factor} \right] / \text{supernatant volume (mL)}$$

رنگ آمیزی ایمونوفلورسانس

برای تأیید بیان pcDNA3.1.S در سلول‌های Lenti-X 293T، روش ایمونوفلورسانس غیرمستقیم اجرا شد که مطابق با مطالعات قبلی بود (۱۶، ۱۷). ۲۴ ساعت پس از ترانسفکشن، سلول‌ها با تیمار متانول به مدت ۱۰ دقیقه، در دمای محیط ثابت شدند. سپس، با آنتی‌بادی ضد اسپایک به مدت یک ساعت، در دمای ۳۷ درجه‌ی سانتیگراد، انکوبه شدند و به دنبال آن، سه مرحله شست‌وشو با PBS انجام شد و سپس، با آنتی‌بادی پلی‌کلونال بزبی ضد IgG کونژوگه با FITC (Fluorescein isothiocyanate) با رقت ۱:۲۰ انکوبه شدند. سپس، اسلایدها با رقت ۱:۱۰۰۰ DAPI (4',6-diamidino-2-phenylindole) (سیگما، ایالات متحده‌ی امریکا) رنگ آمیزی شدند و زیر میکروسکوپ فلورسانس (زایس، آلمان) مشاهده شدند. از سلول‌های T293 ترانسفکت نشده و سلول‌های ترانسفکت شده با وکتور خالی pcDNA3.1 به‌عنوان کنترل منفی استفاده شد.

میکروسکوپ الکترونی (TEM)

از میکروسکوپ الکترونی برای تأیید بیان پروتئین S روی سطح لنتی ویروس نو ترکیب استفاده شد. گریدها با ۱۵ میکرولیتر Lenti SARS-CoV2-S به مدت ۳۰ دقیقه، پوشانده شدند و سپس، با آنتی‌بادی ضد S به مدت دو ساعت، انکوبه شدند. پس از شست‌وشو با PBS، گریدها با آنتی‌بادی ضد IgG کونژوگه‌ی طلا

یافته‌ها

بررسی بیان پروتئین اسپایک و تعیین خصوصیات ذره‌ی سودوویروس

سنجش ایمونوفلورسانس برای ارزیابی بیان پروتئین اسپایک در رده‌ی سلولی Lenti-X 293T انجام شد. برای این منظور، سلول‌های Lenti-X 293T با pcDNA3.1.S یا ناقل خالی به‌تنهایی، ترانسفکت شدند. در مرحله‌ی بعد، سلول‌ها با آنتی‌بادی ضد پروتئین اسپایک انکوبه شدند و با آنتی‌بادی کونژوگه با FITC ضد IgG رنگ‌آمیزی شدند تا بیان پروتئین اسپایک SARS-CoV-2 تشخیص داده شود (تصویر شماره ۱). این روش بیان قوی پروتئین اسپایک SARS-CoV-2 در شرایط آزمایشگاهی را نشان داد که نمودی از بیان این پروتئین در رده‌ی سلولی تولیدکننده‌ی ذرات Lenti-SARS-Cov2 S است.

نتایج TEM بیان پروتئین اسپایک SARS-CoV-2 روی سطح ذرات Lenti-SARS-CoV2 S را تأیید کرد. هم‌چنین، نتایج نشان داد که این ذرات کروی هستند و قطری به اندازه‌ی ۸۰ تا ۱۲۰ نانومتر دارند (تصویر شماره ۲).

سطح خنثی‌سازی سرم بیماران بهبودیافته از کووید-۱۹ نتایج تست خنثی‌سازی نشان داد که سرم‌های پولدشده‌ی افراد بهبودیافته می‌تواند نسبت به سرم‌های افراد کنترل بدون سابقه‌ی بیماری، در حداکثر تیتراژ ۱:۶۴، باعث نوترالیزه شدن ذرات سودوویروس سالم تحت تریتمنت شود. علاوه بر این، سطح تیتراژ NT50 در سرم بیماران بهبودیافته از کووید-۱۹، ۱:۱۶ به دست آمد. هم‌چنین، با رقیق‌سازی سرم، میزان خنثی‌سازی کاهش یافت و زمانی که ذرات سودوویروس با سرم افراد سالم تحت تریتمنت قرار گرفت، هیچ‌گونه خنثی‌کنندگی مشاهده نشد و این امر صحت تست را تأیید می‌کند (تصویر شماره ۳).

(رقت ۱:۱۰۰۰) به مدت ۳۰ دقیقه در تاریکی، انکوبه شدند. پس از شست‌وشو، توری‌ها با اورانیل استات ۱ درصد (سیگما، ایالات متحده‌ی امریکا) به مدت ۱۰ دقیقه، در دمای محیط، به‌طور منفی، رنگ‌آمیزی شدند. سپس، شبکه‌ها با استفاده از میکروسکوپ الکترونی LEO 906 (Zeiss، آلمان) بررسی شدند.

سنجش خنثی‌سازی مبتنی بر شبه‌ویروس در سرم بیماران بهبودیافته از کووید-۱۹

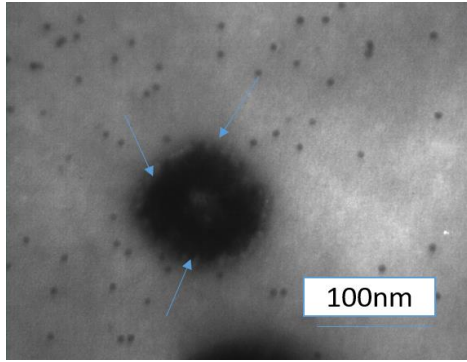
تعداد ۴۵ سرم جمع‌آوری شده از افراد بهبودیافته از کووید-۱۹، برای سنجش خنثی‌سازی استفاده شد. قبل از تعیین میزان خنثی‌سازی سرم‌ها، آنتی‌بادی‌های IgG اختصاصی علیه پروتئین اسپایک با استفاده از کیت الیزا اندازه‌گیری شد. برای سنجش خنثی‌سازی، یک رقت سریال دوبرابری از هر سرم تهیه شد و با ۱۰۰۰۰۰ TU/mL ذرات Lenti SARS-CoV2-S مخلوط شد. پس از انکوباسیون به مدت یک ساعت، مخلوط‌های سرم-ویروس کاذب به سلول‌های Lenti-X 293T در صفحات ۹۶ چاهی (۱×۱۰^۵ سلول در چاهک) منتقل شدند. پس از ۲۴ ساعت، سلول‌ها با استفاده از فلوسیتومتری بررسی شدند. میزان سطح خنثی‌سازی نیز با استفاده از فرمول زیر محاسبه شد:

$$1 - \frac{\text{GFP expression activity in the experimental well}}{\text{GFP expression in a virus - infected well without serum}} \times 100\%$$

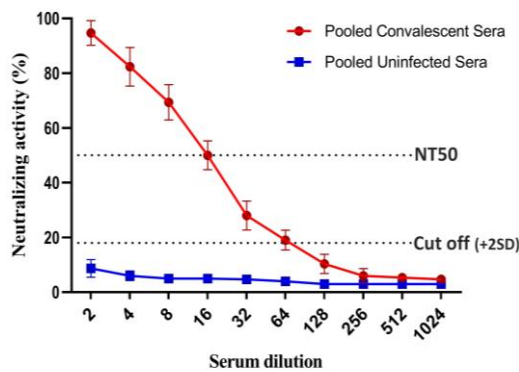
رقتی که به کاهش ۵۰ درصدی عفونت کاذب در مقابل ویروس بدون سرم منجر شد، به‌عنوان تیتراژ خنثی‌کننده‌ی ۵۰ درصد (NT50) ثبت شد. در هر ارزیابی، از سرم فردی که تاکنون با SARS-CoV-2 مواجه نشده بود و ذرات Lenti-VSV-G به‌عنوان کنترل منفی، استفاده شد.

تحلیل آماری

با استفاده از نرم‌افزار GraphPad Prism (ورژن ۹) گراف مقاله طراحی شد. داده‌ها به‌صورت میانگین \pm انحراف معیار ارائه شدند. میانگین داده‌های گروه کنترل به‌علاوه‌ی دو برابر انحراف معیار، cut-off در نظر گرفته شد.



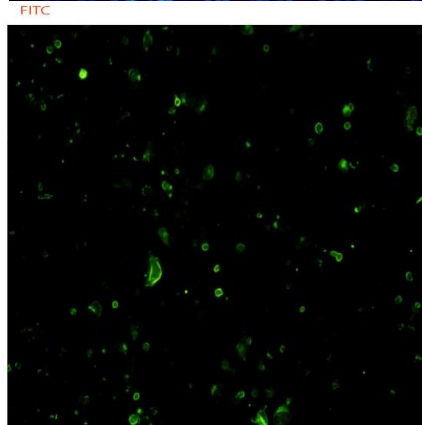
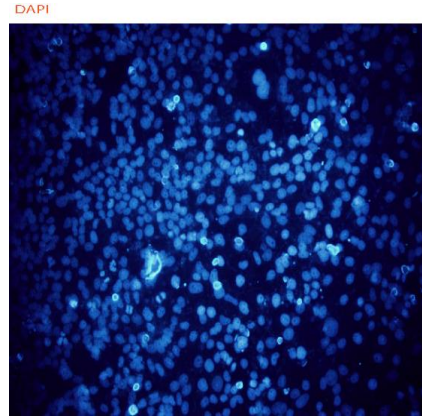
تصویر شماره ۲: میکروگراف میکروسکوپ الکترونیکی انتقال ذرات Lenti-SARS-CoV2 S با فلش‌های آبی که نشان‌دهنده‌ی ذرات هستند. بزرگ‌نمایی: $\times 100,000$. نوار: ۱۰۰ نانومتر.



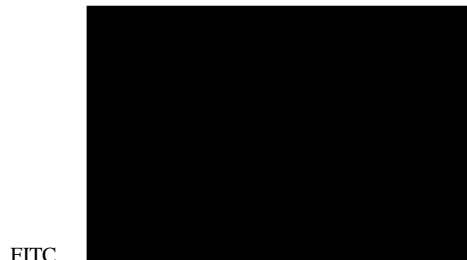
تصویر شماره ۳: پروتئین اسپایک SARS-CoV2 توسط سرم بیماران بهبودیافته و سرم افرادی که هرگز با ویروس مواجه نشده بودند (به‌عنوان کنترل منفی)، در تست pVNT اندازه‌گیری شد. پولد سرمی افراد بهبودیافته از کووید-۱۹ و سرم‌های کنترل منفی به‌صورت سریالی، دو بار با DMEM رقیق شدند. ۱۰۰ میکرولیتر از ذرات Lenti-SARS-CoV2 S با سرم افراد بهبودیافته و افرادی که هرگز با ویروس مواجه نشده بودند، مخلوط شد.

بحث

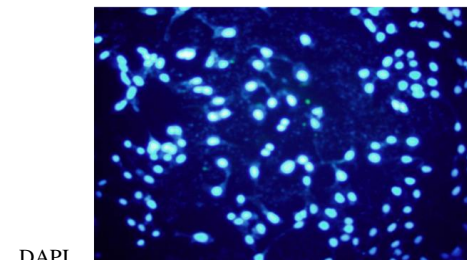
به‌طور معمول، ارزیابی واکسن‌ها و روش‌های درمانی ویروس‌های نوظهور به‌استفاده از ویروس زنده‌ی جداشده نیاز دارد که باید از آن در شرایط کنترل زیستی سطح سه استفاده شود. علاوه بر این، کشت ویروس زنده به‌حدود سه روز زمان نیاز دارد و بسیار گران‌قیمت است (۱۸). واضح است که یافتن روش‌های جایگزین تست خنثی‌سازی ویروسی می‌تواند موجب تسهیل



(A) سلول‌ها با آنتی‌بادی ضد اسپایک SARS-CoV-2 تیمار شدند و سپس، با آنتی‌بادی ثانویه‌ی ضد IgG کوئزوگه با DAPI و FITC رنگ‌آمیزی شدند.



FITC



DAPI

(B) سلول‌های ترانسفکت‌نشده به‌عنوان کنترل منفی با آنتی‌بادی ضد اسپایک SARS-CoV-2 انکوبه شدند و سپس، آنتی‌بادی‌های کوئزوگه اضافه شدند.

تصویر شماره ۱: رنگ‌آمیزی ایمونوفلورسانس غیرمستقیم برای تشخیص بیان پروتئین اسپایک SARS-CoV-2

حداکثر تیتراژ ۱:۶۴، باعث نوترالیزه شدن ذرات سودوویروس سالم تحت تریتمنت شود. علاوه بر این، سطح تیتراژ NT50 در سرم بیماران بهبودیافته از کووید ۱۹، ۱:۱۶ به دست آمد. همچنین، با رقیق سازی سرم، میزان خنثی سازی کاهش یافت و زمانی که ذرات سودوویروس با سرم افراد سالم تحت تریتمنت قرار گرفت، هیچ گونه خنثی کنندگی مشاهده نشد و این امر صحت تست را تأیید می کند (تصویر شماره ۳). مطالعات گزارش داده اند که سطح آنتی بادی خنثی کننده که ۵۰ درصد از عفونت مجدد محافظت می کند، تقریباً ۲۰ درصد میانگین سطح آنتی بادی موجود در سرم افراد بهبودیافته است. همچنین، مطالعات نشان داده اند که آنتی بادی های خنثی کننده می توانند از چهار تا شش ماه پس از بهبودی، در بدن فرد باقی بمانند (۲۴-۲۶).

در نتیجه، نتایج مطالعه حاضر نشان داد که ذرات S Lenti-SARS-CoV-2 جایگزینی مناسب برای تست خنثی سازی ویروس بر مبنای ویروس زنده است و این تست به راحتی در آزمایشگاه های BSL-2 اجراء شدنی است. این روش به طور بالقوه، می تواند برای مطالعاتی که درباره پیوستگی و همجوشی ویروس است نیز مفید باشد.

سپاسگزاری

از معاونت تحقیقات و فناوری دانشگاه علوم پزشکی مازندران برای حمایت از این تحقیق، با کد اخلاق IR.MAZUMS.REC.1399.341، تشکر می کنیم.

References

1. Peck KM, Burch CL, Heise MT, Baric RS. Coronavirus host range expansion and Middle East respiratory syndrome coronavirus emergence: biochemical mechanisms and evolutionary perspectives. *Annual review of virology* 2015; 2(1): 95-117.
2. Mohammadi H, Ehteshaminia Y, Mahdavi

مطالعات، توسعه و ارزیابی واکسن ها و روش های درمانی SARS-CoV-2. تست خنثی سازی ویروس بر مبنای شبه ویروس (pVNT) مزیت های زیادی نسبت به تست خنثی سازی ویروس بر مبنای ویروس زنده (cVNT) دارد (۱۹، ۲۰). وجود پروتئین های پوششی ویروس روی شبه ویروس موجب تقلید ورود شبه ویروس به سلول یوکاریوتی مدنظر می شود. شبه ویروس بسیار ایمن تر است؛ زیرا اساساً فاقد اجزای ویروسی خطرناک است. pVNT نوعی روش خنثی سازی اختصاصی، حساس، دقیق و تکرارپذیر است. در مقایسه با cVNT، pVNT دارای خطای کمتری است و به اپراتور وابستگی ندارد؛ زیرا داده ها به طور خودکار، از طریق خواندن نور فلورسانت به دست می آیند، در حالی که اپراتور سنجش ویروس زنده باید نتایج را به صورت دستی زیر میکروسکوپ بخواند (۲۱). نتیجه مطالعه ما نشان داد که تیتراژ سودوویروس حاصل بسیار پائین است ($10^{3.5}$ TU/mL) و عوامل زیادی بر کارایی تولید ذرات شبه ویروسی تأثیر گذارند. از جمله این عوامل می توان به نسبت ترکیبات پلاسمیدهای بسته بندی، کارایی ترانسفکشن پلاسمید، وضعیت رشد سلول های HEK293T قبل از ترانسفکشن و زمان جمع آوری سوپرناتانت های شبه ویروس اشاره کرد (۲۲، ۲۳).

در مطالعه حاضر، از نمونه های سرمی با فواصل زمانی مختلف بین اتمام بیماری و نمونه برداری، برای سنجش خنثی سازی استفاده شد. نتایج تست خنثی سازی نشان داد که سرم های پولدشده ای افراد بهبودیافته می تواند نسبت به سرم های فرد کنترل بدون سابقه بیماری، در

- SA. A Review on Prevention, Transmission and Symptoms of the COVID-19. *Tabari Biomed Stu Res J* 2020; 2(4).
3. Habibi A, Azizan A, Ehteshaminia Y, Jadidi-Niaragh F, Enderami E, Akbari E, et al. Design of a multi-epitope peptide vaccine against SARS-CoV-2 based on immune-

- informatics data. *J Mazandaran Univ Med Sci* 2020; 30(190): 126-32 (Persian).
4. Ehteshaminia Y, Jalali SF, Jadidi-Niaragh F, Enderami SE, Pagheh AS, Akbari E, et al. Enhancement of immunogenicity and neutralizing responses against SARS-CoV-2 spike protein using the Fc fusion fragment. *Life Sci* 2023; 320: 121525.
 5. Kaufer AM, Theis T, Lau KA, Gray JL, Rawlinson WD. Laboratory biosafety measures involving SARS-CoV-2 and the classification as a Risk Group 3 biological agent. *Pathology* 2020; 52(7): 790-5.
 6. Fan C, Wu X, Liu Q, Li Q, Liu S, Lu J, et al. A human DPP4-knockin mouse's susceptibility to infection by authentic and pseudotyped MERS-CoV. *Viruses* 2018; 10(9): 448.
 7. Nie J, Wu X, Ma J, Cao S, Huang W, Liu Q, et al. Development of in vitro and in vivo rabies virus neutralization assays based on a high-titer pseudovirus system. *Scientific Reports* 2017; 7(1): 42769.
 8. Liu Q, Fan C, Li Q, Zhou S, Huang W, Wang L, et al. Antibody-dependent-cellular-cytotoxicity-inducing antibodies significantly affect the post-exposure treatment of Ebola virus infection. *Scientific Reports* 2017; 7(1): 45552.
 9. Zhang L, Li Q, Liu Q, Huang W, Nie J, Wang Y. A bioluminescent imaging mouse model for Marburg virus based on a pseudovirus system. *Hum Vaccin Immunother* 2017; 13(8): 1811-1817.
 10. Li Q, Liu Q, Huang W, Wu J, Nie J, Wang M, et al. An LASV GPC pseudotyped virus based reporter system enables evaluation of vaccines in mice under non-BSL-4 conditions. *Vaccine* 2017; 35(38): 5172-5178.
 11. Wu J, Zhao C, Liu Q, Huang W, Wang Y. Development and application of a bioluminescent imaging mouse model for Chikungunya virus based on pseudovirus system. *Vaccine* 2017; 35(47): 6387-6394.
 12. Nie J, Liu L, Wang Q, Chen R, Ning T, Liu Q, et al. Nipah pseudovirus system enables evaluation of vaccines in vitro and in vivo using non-BSL-4 facilities. *Emerg Microbes Infect* 2019; 8(1): 272-281.
 13. Ma J, Chen R, Huang W, Nie J, Liu Q, Wang Y, et al. In vitro and in vivo efficacy of a Rift Valley fever virus vaccine based on pseudovirus. *Hum Vaccin Immunother* 2019; 15(10): 2286-2294.
 14. Vasmehjani AA, Salehi-Vaziri M, Azadmanesh K, Nejati A, Pouriayevali MH, Gouya MM, et al. Efficient production of a lentiviral system for displaying Crimean-Congo hemorrhagic fever virus glycoproteins reveals a broad range of cellular susceptibility and neutralization ability. *Arch Virol* 2020; 165(5): 1109-1120.
 15. Pagheh AS, Sarvi S, Gholami S, Asgarian-Omran H, Valadan R, Hassannia H, et al. Protective efficacy induced by DNA prime and recombinant protein boost vaccination with *Toxoplasma gondii* GRA14 in mice. *Microbial Pathogenesis* 2019; 134: 103601.
 16. Budi HS, Izadi S, Timoshin A, Asl SH, Beyzai B, Ghaderpour A, et al. Blockade of HIF-1 α and STAT3 by hyaluronate-conjugated TAT-chitosan-SPION nanoparticles loaded with siRNA molecules prevents tumor growth. *Nanomedicine* 2021; 34: 102373.
 17. Rahmani F, Ehteshaminia Y, Mohammadi H, Mahdavi SA. A Review on Diagnostic Methods for *Trichomonas Vaginalis*. *Tabari Biomed Stu Res J* 2021; 3(4): 35-43.
 18. Pang J, Wang MX, Ang IYH, Tan SHX, Lewis RF, Chen JI-P, et al. Potential rapid diagnostics, vaccine and therapeutics for 2019 novel coronavirus (2019-nCoV): a systematic review.

- J Clin Med 2020; 9(3): 623.
19. Tan CW, Chia WN, Qin X, Liu P, Chen MI-C, Tiu C, et al. A SARS-CoV-2 surrogate virus neutralization test based on antibody-mediated blockage of ACE2-spike protein-protein interaction. *Nature biotechnology* 2020; 38(9): 1073-1078.
 20. Kolesov DE, Sinogubova MV, Dayanova LK, Dolzhikova IV, Vorobiev II, Orlova NA. Fast and accurate surrogate virus neutralization test based on antibody-mediated blocking of the interaction of ACE2 and SARS-CoV-2 spike protein RBD. *Diagnostics* 2022; 12(2): 393.
 21. Nie J, Li Q, Wu J, Zhao C, Hao H, Liu H, et al. Establishment and validation of a pseudovirus neutralization assay for SARS-CoV-2. *Emerg Microbes Infect* 2020; 9(1): 680-686.
 22. Fu X, Tao L, Zhang X. Comprehensive and systemic optimization for improving the yield of SARS-CoV-2 spike pseudotyped virus. *Mol Ther Methods Clin Dev* 2021; 20: 350-356.
 23. Li Q, Liu Q, Huang W, Li X, Wang Y. Current status on the development of pseudoviruses for enveloped viruses. *Rev Med Virol* 2018; 28(1): e1963.
 24. Wheatley AK, Juno JA, Wang JJ, Selva KJ, Reynaldi A, Tan H-X, et al. Evolution of immune responses to SARS-CoV-2 in mild-moderate COVID-19. *Nat Commun* 2021; 12(1): 1162.
 25. Dan JM, Mateus J, Kato Y, Hastie KM, Yu ED, Faliti CE, et al. Immunological memory to SARS-CoV-2 assessed for up to 8 months after infection. *Science* 2021; 371(6529): eabf4063.
 26. Gaebler C, Wang Z, Lorenzi JC, Muecksch F, Finkin S, Tokuyama M, et al. Evolution of antibody immunity to SARS-CoV-2. *Nature* 2021; 591(7851): 639-644.